

## (C<sub>2</sub>)

\*

( ) / / / / ( )

در سالیان اخیر محققان گام‌های مؤثری در بهسازی لرزه‌ای سازه‌ها برداشته‌اند و دیدگاه آنان از تأمین مقاومت، متوجه عملکرد سازه‌ها شده است. روش تحلیل استاتیکی غیرخطی (بارافزون) یکی از روش‌های نوین مورد استفاده در دستورالعمل بهسازی و FEMA356 است. نتیجه این تحلیل تغییر مکان مدفعی است که مبنای تعیین عملکرد سازه قرار می‌گیرد. تشخیص هر چه دقیق‌تر آن می‌تواند کارایی تحلیل پوش‌آور را افزایش دهد. تحلیل دینامیکی غیرخطی (با وجود دقت بسیار بالا) از نظر زمانبری، هزینه بالا و دشواری، به اندازه روش بارافزون کاربرد ندارد. یکی از ضرایبی که در تعیین تغییر مکان هدف در این روش به کار می‌رود، ضریب کاهش سختی و مقاومت (C2) است که برای اصلاح خطای در نظر نگرفتن اثرات کاهش سختی و کاهش مقاومت چرخه‌های هیسترزیسی است. در این تحقیق سه قاب بتن مسلح با دیواربرشی (طراحی شده براساس استاندارد ۲۸۰۰-۳)، تحت تأثیر شتاب‌نگاشتهای مختلفی قرار می‌گیرند. با انجام تحلیل بارافزون و مقایسه آن با نتایج تحلیل دینامیکی، مقدار به دست آمده برای C2 با مقادیر پیشنهادی دستورالعمل بهسازی مقایسه می‌شوند.

نحوه انجام تحقیق: تحلیل استاتیکی غیرخطی، تحلیل دینامیکی غیرخطی، ضریب C<sub>2</sub>، تغییر مکان هدف، منحنی هیسترزیس، قاب بتن مسلح، دیوار برشی

بروز زلزله جلوگیری شود و آنچنان به محدود کردن میزان جا به جایی‌ها و کاهش سطح خسارت‌ها توجهی نمی‌شد. در سال ۱۹۶۰ با وجود این حقیقت که روش‌های طراحی در برابر زلزله که در آیین‌نامه به کار برده می‌شود، خالی از ارزیابی خدمت‌پذیری ویژه است، انجمن مهندسان سازه آمریکا [۶] معین کردن که ساختمان‌های طراحی شده بر اساس آیین‌نامه، باید قادر به برآورده کردن سطوح عملکرد مورد نیاز باشند. این موضوع شامل مورد قبول نبودن خسارت در زلزله‌های با سطح خطر حداقل و بدون خسارت سازه‌ای و یا خسارت‌های غیر سازه‌ای در زلزله‌های Loma Prieta راهنمایی بهسازی لرزه‌ای [۱] FEMA273 گردآوری شد. این نشریه به طور ویژه برای طراحی بر اساس اصول عملکرد و روش‌های ارتقای لرزه‌ای سازه‌های موجود گردآوری شده بود و به کمک مقادیر ضرایب تغییر مکان (C<sub>1</sub>, C<sub>2</sub>, C<sub>3</sub>) جا به جایی هدف و در نتیجه میزان عملکرد سازه را محاسبه می‌کرد. در همان زمان راهنمای ATC40 [۶] نیز گردآوری شد. هر دو نشریه مشابه بودند

طی دهه‌های گذشته با پیشرفت مطالعات انجام شده بر ماهیت زمین‌لرزه و مطالعه روی اثرات آن، آیین‌نامه‌ها و دستورالعمل‌های بسیاری برای استفاده مهندسان به وجود آمده است. برای بهبود عملکرد سازه‌های ساخته شده، آیین‌نامه‌هایی تنها برای ارزیابی رفتار این ساختمان‌ها و نحوه بهسازی شان تدوین شد. اولین نشریه مؤسسه مدیریت اضطراری فدرال ایالات متحده (FEMA) برای بررسی آسیب‌پذیری ساختمان‌های موجود با عنوان FEMA273 [۱] در سپتامبر سال ۱۹۹۶ منتشر شد. این مؤسسه بعدها نیز نشریاتی همچون FEMA356 [۲]، FEMA357 [۳] و FEMA274 [۴] را منتشر کرد که پایه اکثر آیین‌نامه‌های بهسازی دنیا از جمله "دستورالعمل بهسازی لرزه‌ای ساختمان‌های موجود" [۵] هستند.

در اغلب آیین‌نامه‌های طراحی سعی بر آن بوده است که از تخریب سازه جلوگیری شود و توان مقاومت در مقابل نیروهای لرزه‌ای را داشته باشد. برای همین سعی بر آن بوده است تا از کاهش و افت مقاومت سازه‌ها هنگام

روش نخست روش مرسوم در دستورالعمل‌های بهسازی است. در این روش با استفاده از بررسی‌های تحلیلی و آماری انجام شده بر سیستم‌های یک درجه آزاد با رفتار غیرخطی غیرکاهنده (دوخطی یا سه خطی) و نسبت میرایی  $5$  درصد تغییر مکان هدف محاسبه می‌شود. تغییر مکان هدف برای سازه با دیافراگمهای صلب باید با در نظر گرفتن رفتار غیرخطی سازه برآورد شود<sup>[۵]</sup>. روش تقریبی محاسبه تغییر مکان هدف عبارتند از:

$$\delta_r = C_0 \cdot C_1 \cdot C_2 \cdot C_3 \cdot S_a \cdot \frac{T_e^2}{4\pi^2} \cdot g \quad (1)$$

که در آن:

$T_e$  زمان تناوب اصلی مؤثر ساختمان:

$$T_e = T_i \times \sqrt{\frac{k_i}{k_e}} \quad (2)$$

$K_i$  شب منحنی اصلی نیرو - تغییر مکان،

$K_e$  شب منحنی ایده‌آل شده،

$T_i$  زمان تناوب اصلی ساختمان با فرض رفتار خطی،

$S_a$  شتاب طیفی به ازای زمان تناوب موثر  $T_e$ .

$C_0$  ضریب اصلاح ارتباط تغییر مکان طیفی سیستم یک درجه آزاد به تغییر مکان با می‌سیستم چند درجه آزاد،

$C_1$  ضریب تبدیل تغییر مکان طیفی خطی به تغییر مکان حداکثر غیرخطی،

$C_2$  ضریب اثر کاهش سختی و مقاومت اعضای سازه‌ای بر

تغییر مکان‌ها به دلیل رفتار غیرارتجاعی،

$C_3$  ضریب اثر افزایش تغییر شکل جانبی سازه تحت اثر در محدوده رفتار غیرخطی مصالح است.

$$C_2 = [ ] \quad C_3 = [ ] \quad \text{FEMA356}$$

ضریب  $C_2$  اثرات کاهش سختی و مقاومت اعضا سازه‌ای را بر تغییر مکان‌ها به دلیل رفتار غیرارتجاعی آنها منظور می‌کند که طبق جدول (۱) محاسبه می‌شود.

$$[ ] C_2 : :$$

$T \geq T_0$		$T \leq 0.1$		سطح عملکرد مورد نظر
قاب نوع دو	قاب نوع یک	قاب نوع دو	قاب نوع یک	
۱/۰	۱/۰	۱/۰	۱/۰	قابلیت استفاده بی‌وقفه
۱/۰	۱/۱	۱/۰	۱/۳	ایمنی جانبی
۱/۰	۱/۲	۱/۰	۱/۵	آستانه فروریزش

و مفهوم عملکرد و روش‌های ارزیابی آن را به یک شکل بیان می‌کردند.

روش تحلیلی مرسوم در این دستورالعمل‌ها، روش تحلیل استاتیکی غیر خطی<sup>۱</sup> یا بار افزون<sup>۲</sup> است. با اینکه روش تحلیل دینامیکی غیرخطی<sup>۳</sup> جامع ترین روشی است که می‌تواند برای تحلیل سازه به کار رود و جواب‌های دقیق‌تری نسبت به سایر روش‌های موجود به دست می‌دهد، با این حال به دلیل حساس بودن پاسخ‌ها به رکورد ورودی، نبود انطباق شرایط ساختگاهی محل ثبت پاسخ سازه (نظیر محتوا فرکانسی، پریود خاک، مدت زمان زلزله، رفتارهای کاهنده و...)، می‌توان گفت که این روش به نسبت برای مدلسازی، پیچیده و هزینه‌بر است. تحلیل بارافزون مشکلات مربوط به تحلیل دینامیکی غیر خطی نداشته و با انجام آن می‌توان با استفاده از منحنی طیف پاسخ به عنوان منحنی نیاز، تخمین مناسبی از پاسخ لرزه‌ای سازه به دست آورد. این روش کاستی‌هایی نیز دارد که از جمله این کاستی‌ها می‌توان به لحاظ شدن تقریبی اثر رفتار کاهنده اجزای سازه‌ای تحت سیکل‌های زلزله اشاره کرد. در این تحقیق به بررسی این اثرات در روش تحلیل استاتیکی غیرخطی در قاب بتنی با دیوار برشی پرداخته شده است.

در مطالعه حاضر سه قاب بتنی با دیوار برشی با شکل پذیری متوسط طرح شده‌اند. برای محاسبه ضریب اصلاحی، در نظر نگرفتن اثرات کاهنده‌ی منحنی‌های هیسترزیسی در تحلیل، از چند مدل هیسترزیسی با میزان کاهش سختی و مقاومت حداکثر، متوسط و حداقل بهره گرفته شده است. همچنین مدلی هیسترزیسی برای بیان کردن رفتار هیسترزیسی دیوار برشی انتخاب شده است. برای انجام تحلیل دینامیکی غیرخطی از ۷ شتاب III نگاشت مختلف که مطابق با طیف طرح خاک نوع آین نامه ۲۸۰۰ [۷] همپایه شده‌اند، استفاده شده است.

برای محاسبه تغییر مکان هدف در دستورالعمل‌های مختلف دو روش عمده وجود دارد:

۱- روش ضرایب تغییر مکان هدف

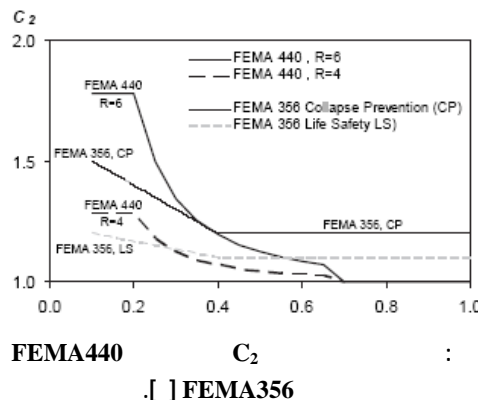
۲- روش طیف ظرفیت

طبق رابطه میراندا در رفتار کاهش سختی<sup>۴</sup> و رفتار کاهش سختی و مقاومت<sup>۵</sup> مقدار  $C_2$  در عمل کمتر از ۱ است، مگر در حالتی که سازه نوسانگر با مقاومت پایین و پریود کوتاه باشد. FEMA440 [۶] فرض را بر این می‌گیرد که برای محاسبه جا به جایی هدف، تنها کاهش سختی (SD) برای ضریب  $C_2$  مورد نیاز خواهد بود، هر چند مقادیر حاصل از کاهش سختی و مقاومت (SDD) نیز تفاوت چندانی با آن ندارد، ولی در پریودهای زیر ۰/۸ ثانیه مقادیر بیشتری را نشان می‌دهد:

$$C_2 = 1 + \frac{1}{800} \left( \frac{R-1}{T} \right)^2 \quad (5)$$

برای پریودهای کمتر از ۰/۰ ثانیه مقدار  $C_2$  برابر مقدار ضریب در پریود ۰/۲ ثانیه است. مقدار  $C_2$  در پریودهای بیشتر از ۰/۷ ثانیه نزدیک برابر ۱ در نظر گرفته می‌شود. رابطه  $C_2$  در شکل (۱) نمایش داده شده است. بنابراین نمودار ضریب  $C_2$  باید تنها در سازه‌هایی مورد استفاده قرار بگیرد که تحت اثر کاهش سختی و یا مقاومت شدید قرار دارند.

دستورالعمل FEMA440 [۶] اظهار می‌دارد که مقدار ضریب  $C_2$  محاسبه شده با رابطه FEMA356 [۳] غالب بیشتر از مقدار آن در سازه‌هایی با کاهندگی سختی شدید و  $R < 3$  است؛ در حالی که این ضریب در مقابل سازه‌هایی با کاهندگی سختی خفیف کمتر خواهد بود.



در ارزیابی پاسخ دینامیکی سازه‌های بتن مسلح، توجه به خصوصیات متمايزکننده بتن از فولاد مدد نظر قرار می‌گیرد. باید به آثار کاهش سختی، کاهش مقاومت و باریکشدنگی در چنین مدل‌هایی توجه شود. پارک این خصوصیات را به کمک سه عامل  $\alpha$ ,  $\beta$ ,  $\gamma$  که به ترتیب

در این جدول، قابهای نوع یک شامل سیستم‌های سازه‌ای هستند که در آنها بیش از ۳۰ درصد بار جانبی توسط اعضايی حمل می‌شود که هنگام زلزله صدمه می‌بینند و سایر سیستم‌ها از نوع دو محسوب می‌شوند. برای مقادیر  $T$  بین ۰/۱ و ۰/۰ مقدار ضریب  $C_2$  با استفاده از درونیای خطی محاسبه می‌شود. به دنبال حرکت رفت و برگشتی و گسترش خرابی‌ها، سختی اجزای سازه کاهش یافته و مقاومت آنها افت می‌کند. در سازه‌هایی که حلقه هیسترزیس خوب نداشته باشد، حرکت رفت و برگشتی سازه سبب گسترش ترک‌ها و خرابی شده و علاوه بر کاهش سختی و افزایش تغییر شکل‌ها، افت مقاومت را نیز به دنبال خواهد داشت. قابهای نوع یک هنگام زلزله عملکرد خوبی نداشته و به سرعت کاهش سختی و افت مقاومت خواهند داشت. به همین دلیل مقدار ضریب  $C_2$  برابر ۱/۵ تا ۱/۵ اختیار در نظر گرفته می‌شود. در صورتی که هدف از بهسازی، برای زلزله طرح، آستانه فروریزش باشد، با توجه به تغییر شکل‌های زیاد به واسطه خرابی‌های گستره موضعی در اجزای سازه ضریب  $C_2$  برابر با ۱/۵ انتخاب می‌شود و در صورتی که برای بهسازی، هدف استفاده بی‌وقفه باشد و خرابی‌های موضعی و محدود در اجزای سازه مورد انتظار باشد و جزئیات سازه به گونه‌ای طراحی شده باشند که حلقه‌های هیسترزیس پایدار و باز (دارای سطح محصور و بزرگ) باشند، این ضریب برابر با مقدار ۱ در نظر گرفته می‌شود [۵].

### [ ] FEMA440 [ ] $C_2$

میراندا عنوان کرده است که تعاریف کنونی ضرایب  $C_2$  و  $C_3$  به روشنی از یکدیگر مستقل نیستند. ضریب  $C_2$  قصد دارد که تغییرات رفتار هیسترزیسی ناشی از باریکشدنگی، کاهش سختی و مقاومت ناشی از اثر  $\Delta P$  را کاهش سختی و مقاومت ناشی از اثر  $\Delta P$  فرض می‌شود که در ضریب  $C_3$  در نظر گرفته شده است. اصلاحات پیشنهادی ضمنی برای شفافسازی هر چه بیشتر این عوامل به شرح زیر است:

پیشنهاد ۱:

$$C_2 > 1 \quad \text{for} \quad T_e < 0.5s \quad (3)$$

$$C_2 = 1 \quad \text{for} \quad T_e \geq 0.5s$$

$$C_2 = 1 \quad \text{for} \quad \alpha, \beta, \gamma \quad (4)$$

پیشنهاد ۲:

۱- اندیس خسارت اجزاء: شامل ستون‌ها، تیرها و یا دیوارهای برشی.

۲- اندیس خسارت طبقه: شامل اجزای عمودی و افقی و کل خسارت طبقه.

۳- کل خسارت ساختمان.

استفاده مستقیم از مدل خسارت بر عضوی از سازه، یک طبقه و یا بر کل سازه، نیازمند تعیین تغییر شکل‌های نهایی مرتبط با کلیه اعضاء، طبقات و یا کل سازه مورد نظر است. از آنجایی که رفتار غیرخطی محدود به نواحی پلاستیک نزدیک به محل انتهایی هر عضوی است، رابطه بین المان، طبقه و یا تغییر شکل‌های بام همراه با دوران‌های پلاستیک محلی به سختی قابل تعیین است. برای به دست آوردن خسارت‌های محل انتهایی یک المان، کونناس [۱۴] اصلاحیه زیر را طرح کرده است:

$$DI = \frac{\theta_m - \theta_r}{\theta_u - \theta_r} + \frac{\beta}{M_y \theta_u} E_h \quad (7)$$

که در آن:

$\theta_m$  دوران حداکثر حین بارگذاری،

$\theta_u$  اطرافیت دوران نهایی مقطع،

$\theta_r$  دوران بازیافتی حین باربرداری،

$M_y$  لنگر خمشی تسلیم،

$E_h$  انرژی مستهلك شده مقطع است. خسارت عضو به عنوان بزرگ‌ترین اندیس خسات‌های مقاطع انتهایی انتخاب می‌شود.

دو اندیس افروده شده خسارت‌های طبقه و خسارت‌های وارد بر کل سازه با استفاده از ضرایب وزنی، به ترتیب بر اساس انرژی هیسترزیس مستهلك شده عضو و طبقه محاسبه می‌شود [۱۵]:

بیانگر سه خصوصیت ذکر شده‌اند، تعریف کرد.

تحقیقات گسترده‌ای برای ایجاد یک مدل دقیق ارزیابی میزان خسارت وارد بر سازه‌ها در سالیان گذشته انجام گرفته است. مهم‌ترین مدلی که برای این هدف معروفی شده است، مدل پارک [۱۳] است. همچنین مدل خسارت پارک قسمتی انتگرالی از مدل هیسترزیسی سه عاملی است، از آنجایی که سرعت کاهش مقاومت به عنوان مشخصه اصلی خسارت به طور مستقیم به عامل  $\beta$  وابسته است که به صورت زیر تعریف می‌شود:

$$DI_{P\&A} = \frac{\delta_m}{\delta_u} + \frac{\beta}{\delta_u P_y} \int dE_h \quad (6)$$

که در آن:

$\delta_m$  تغییر شکل حداکثر خطی،

$\delta_u$  تغییر شکل نهایی،

$P_y$  مقاومت تسلیم،

$\int dE$  و انرژی هیسترزیس جذب شده است. مقدار  $0/01$  برای عامل  $\beta$  کاهش مقاومت اسمی پیشنهاد شده است [۱۰]. این رابطه به صورت ترکیب خطی خسارت ناشی از تغییر شکل حداکثر و انرژی هیسترزیس جذب شده تعریف می‌شود. مقدار شاخص خسارت در صورتی که به بیش از مقدار واحد برسد، نشانگر خرابی کامل و تخریب سازه است.

سه نوع اندیس خسارت برای هر سازه به کار می‌رود:

$$DI_{story} = \sum (\lambda_i)_{component} (DI_i)_{component}; (\lambda_i)_{component} = \left[ \frac{E_t}{\sum E_t} \right]_{component} \quad (8)$$

$$DI_{overall} = \sum (\lambda_i)_{story} (DI_i)_{story}; (\lambda_i)_{story} = \left[ \frac{E_t}{\sum E_t} \right]_{story} \quad (9)$$

تنظیم شده است [۱۳]. جدول (۲) اندیس خسارت تنظیم شده با درجه خسارت مشاهده شده در سازه را نشان می‌دهد.

که در آن:

$\lambda_i$  ضرایب وزنی انرژی،

$E_i$  انرژی کل جذب شده عضو و یا طبقه  $i$  است. مدل خسارت پارک با خسارت وارد بر ۹ ساختمان بتن مسلح

درجه خسارت	مشاهده فیزیکی	اندیس خسارت	وضعیت ساختمان
فروریش	فروریش بخشی یا کل سازه	<1/0	سقوط ساختمان
شدید	خرد شدن گستردۀ بتون، نمایان شدن آرماتورهای کمانش کرده	1/0-0/4	غیر قابل تعمیر
متوسط	ترکهای بزرگ گستردۀ خرد ریز شدن بتون اعضاي ضعیف تر	0/4<	قابل تعمیر
کم	ترکهای کم، خرد موضعی بتون ستون ها ظهور پراکنده ترک خوردگی		
ناچیز			

۲- در این راهکار سعی می شود تا حdalامکان به طور کاملاً مستقل از نتایج تحلیل بارافزون نسبت به محاسبه ضربی  $C_2$  اقدام شود. در این رویه لازم است که یک بار تحلیل دینامیکی غیرخطی بدون در نظر داشتن اثرات کاهندگی انجام شود. ضربی  $C_2$  این بار از نسبت جا به جایی حداکثر سازه با در نظر گرفتن اثرات کاهندگی بر جا به جایی حداکثر سازه بدون در نظر گرفتن اثرات کاهندگی محاسبه می شود. توجیه پذیرش این عمل در این است که در این روش دو مقدار جا به جایی صورت و مخرج کسر مورد نظر با توجه به فرضیه های مشترک و فرایندی یکسان به دست آمده اند و تنها عامل افتراق آنها از یکدیگر در شکل منحنی هیسترزیسی آنها است. از آنجایی که در این منحنی ها تنها به کاهش مقاومت و سختی توجه شده است، نتیجه به دست آمده می تواند نسبت به روش اولیه خطای کمتری داشته باشد. در نهایت نتایج به دست آمده برای سه قاب بتنی با پریودهای مختلف مقایسه ای با توصیه های دستورالعمل های موجود مقایسه می شوند.

در ابتدا برای به دست آوردن تغییر مکان هدف از روش تحلیل استاتیکی غیرخطی استفاده شده است. این روش متناسب با آیین نامه بهسازی ایران [۵] دنبال شده است. به دلیل وجود المان صفحه ای دیوار برشی، نمی توان از برنامه های تحلیل ماتریسی متداول استفاده کرد. برای این منظور از برنامه تحلیل غیرخطی خسارت بتون مسلح [۱۶] IDARC استفاده شد. پس از انجام تحلیل بارافزون، نتایج به دست آمده شامل منحنی نیرو- جا به جایی قاب خواهد بود. قدم بعدی محاسبه تغییر مکان هدف است.

برای بررسی اثرات کاهنده چرخه های هیسترزیس از چهار مدل هیسترزیسی کلاف، تاکدا، کاهندگی شدید و مبدأگرا در تحلیل دینامیکی غیرخطی استفاده شده است. مدل کلاف از اثرات کاهش سختی و مقاومت چرخه های هیسترزیسی چشم پوشی می کند؛ در حالی که مدل تاکدا این کاهش را تا حدی برای رفتار خمشی اعضاء در نظر می گیرد. مدل کاهندگی شدید بر اساس بالاترین مقادیر ممکن در نرم افزار IDARC [۱۶] انتخاب شده است. هدف این تحقیق در حقیقت یافتن ضریبی اصلاحی در تحلیل های استاتیکی غیرخطی به روش ضرایب تغییر مکان هدف است. بدین منظور دو راهکار وجود خواهد داشت:

۱- یک بار تحلیل قاب به کمک روش استاتیکی غیرخطی انجام می گیرد. در این حالت ضربی  $C_2$  در محاسبات وارد نمی شود و فرض می شود که تحلیل بدون توجه به آثار کاهندگی سختی و مقاومت است. پس از پیدا کردن مقدار جا به جایی هدف، این بار تحلیل به روش دینامیکی غیرخطی انجام می گیرد. البته با این فرض که از منحنی های هیسترزیسی با در نظر داشتن اثر کاهندگی استفاده شود. واضح است که در اولین نگاه می توان پذیرفت که نسبت جا به جایی حداکثر تحلیل دینامیکی غیرخطی بر جا به جایی هدف تحلیل استاتیکی غیرخطی، می تواند بیانگر مقدار ضربی  $C_2$  باشد. با این حال به این دلیل که نمی توان از دقت دیگر ضرایب به کار رفته در تحلیل بارافزون مطمئن بود، شاید نتوان پاسخ های به دست آمده را قابل اطمینان دانست. بنابراین تضمینی وجود ندارد که نسبت به دست آمده به طور دقیق برابر با ضربی عامل کاهندگی مورد نظر باشد.

شامل شوند، از سه قاب ۱۰، ۱۵ و ۲۰ طبقه استفاده شده است. همه این قاب‌ها ۴ دهانه ۵ متری دارند و ارتفاع همه طبقات مساوی ۳ متر است. عرض و ارتفاع قاب‌ها طوری انتخاب شده‌اند که در طیف سازه‌های متوسط ( $H/B \leq 3$ ) قرار بگیرند. از آنجایی که قاب‌های تعریف شده این تحقیق در حیطه سازه‌های با شکل پذیری متوسط هستند، میزان شکل‌پذیری آنها برابر  $R=8$  فرض شد و سقف ارتفاع ۷۰ متر برای آنها در نظر گرفته شد. در طراحی این قاب‌ها سعی شده است تا با شکلی مقارن از اثرات ناشی از پیچش و نامنظمی بر پاسخ‌ها جلوگیری شود. بارگذاری ثقلی این قاب‌ها بر اساس آیین‌نامه مبحث ششم [۱۷] و بارگذاری لرزه‌ای و نیز طبق آیین‌نامه طراحی ساختمان‌ها در برابر زلزله [۷] انجام گرفته است. تحلیل اولیه قاب‌ها به روش تحلیل استاتیکی معادل انجام شد. طراحی نیز به کمک نرم‌افزار ACI-318 [۱۸] و ETABS2000 [۱۹] و با توجه به آیین‌نامه ۰-۰۲-۱۸-۰۱-۰۲ انجام گرفت. با این حال قابل ذکر است برای جلوگیری از شکست قاب‌ها حین تحلیل‌های دینامیکی، ترتیبی در نحوه تیپ‌بندی المان‌ها در نظر گرفته شد که سازه دارای حد قابل قبولی از اضافه مقاومت برای تأمین شکل‌پذیری متوسط و مورد درخواست باشد.

پریود طبیعی سه قاب به ترتیب ۰/۷۲، ۰/۱۸ و ۱/۵۵ ثانیه محاسبه شد. فرض شده است که قاب‌ها در پنهان با خطر لرزه‌خیزی خیلی زیاد با شتاب مبنای طرح III ۰/۳۵g قرار دارند و نوع زمین محل نیز خاک نوع استاندارد ۲۸۰۰ است [۷]. با توجه به اینکه دیوارها سوتون‌های مرزی با ضوابط مندرج آرماتورهای طولی و خاموت‌های عرضی در آیین‌نامه ۰-۰۲-۱۸-۰۱-۰۲ [۱۹] را دارند، طرح شده‌اند، از حداقل ۳ شتاب‌نگاشت با مؤلفه‌های مختلف و از حداقل ۳ رویداد مختلف الزامی است [۵].

از شتاب‌نگاشت‌های لرزه‌ای واقعی به عنوان نیروی وارد بر سازه‌ها، در تحلیل دینامیکی غیرخطی استفاده می‌شود. در این تحقیق با انتخاب ۷ شتاب‌نگاشت زلزله‌های مختلف که مطابق با طیف آیین‌نامه ۲۸۰۰ [۷] مقياس شده‌اند و معرفی آنها به برنامه IDARC [۱۶] تحلیل انجام گرفته است. آیین‌نامه بهسازی ایران برای همپایه‌سازی مقرر می‌دارد که شتاب‌نگاشت‌ها باید در دوره

بدین منظور ابتدا از روش منحنی ایده‌آل شده دوخطی،  $K_e$  محاسبه می‌شود. روش کار بدین صورت است که ابتدا مقداری برای نیروی تسلیم  $V_y$  حدس زده می‌شود. سپس  $K_e$  حساب می‌شود. با داشتن  $K_e$  می‌توان با کمک رابطه (۲) مقدار پریود مؤثر  $T_e$  را محاسبه کرد. بدین شکل با جایگذاری  $T_e$  در رابطه (۱) میزان تغییر مکان هدف محاسبه می‌شود. در اینجا مقادیر دیگر ضریب‌ها ( $C_0, C_1, C_3$ ) به دلیل کنار گذاشته شدن تأثیر آنها در نتایج، برابر با ۱ در نظر گرفته شده‌اند.

پس از محاسبه تغییر مکان هدف با رسم منحنی دو خطی به دست آمده سطح زیر منحنی با سطح زیر منحنی ظرفیت مقایسه می‌شود. در صورت منطبق نبودن مقدار دیگری برای  $V_y$  حدس زده و مراحل قبلی دوباره تکرار می‌شود. در پایان به محض رسیدن به دقیق قابل قبول می‌توان مقدار نهایی تغییر مکان هدف را به دست آورد.

دومین و مهم‌ترین گام در این تحقیق انجام تحلیلی دینامیکی و غیرخطی است تا به کمک نتایج آن بتوان نسبت به مقایسه مقادیر جا به جایی و تأثیر کاهندگی بر آن، اظهار نظر کرد. تحلیل دینامیکی غیرخطی دقیق‌ترین روشی است که برای حل پاسخ‌های سازه در برابر بارهای لرزه‌ای به کار می‌رود. البته بدین شرط که از فرضیه‌های درستی نیز بهره‌مند باشد. یکی از این فرضیه‌ها، ماهیت نیروهای لرزه‌ای است. در صورتی که از شتاب نگاشت‌های قابل اطمینان و مطابق با شرایط منطقه در تحلیل استفاده نشود، پاسخ‌های دریافت شده می‌توانند گمراه کننده باشند. در این تحقیق از برنامه IDARC [۱۶] که قابلیت تحلیل قاب‌های بتنی و تحلیل خسارت‌ها را دارد، برای تحلیل دینامیکی استفاده شد.

هدف این مطالعه بررسی ضریب  $C_2$  بر قاب‌های دیوار برشی است. بدین منظور از سه قاب بتنی با دیوارهای برشی مطابق شکل (۲) برای تحلیل استفاده شده است. برای اینکه نقش دیوارهای برشی در عملکرد قاب بتنی منجر به پاسخ‌های کلی تری شود و جواب‌ها طیف بیشتری از مدل‌ها را از نظر پریود طبیعی و عملکرد لرزه‌ای

۱- تحلیلی دینامیکی غیرخطی بدون اثرات کاهنده‌گی مقاومت و سختی:

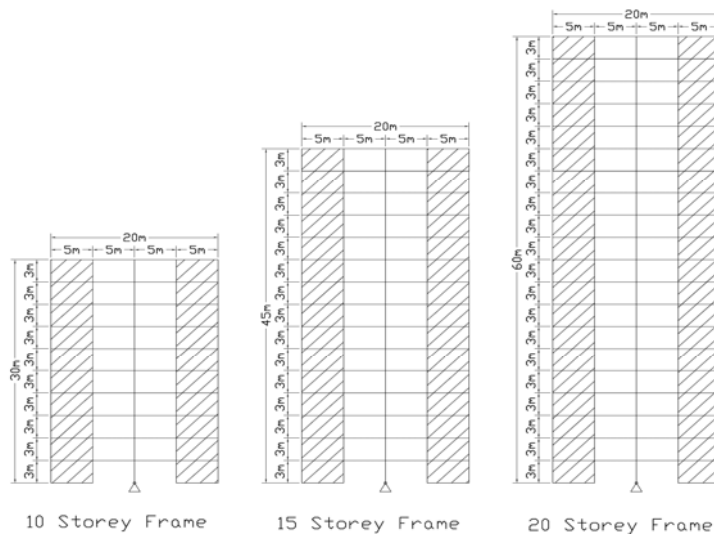
در این مدلسازی سعی شد تا منحنی انتخاب شده علاوه بر نمایش رفتار بتن و جداسازی آن از دیگر مصالح (نظیر فولاد)، هیچ گونه کاهشی هنگام باربرداری از خود نشان ندهد. بدین منظور از منحنی هیسترزیسی کلاف [۲۰] بدون اثر کاهنده‌گی استفاده شد.

۲- تحلیلی دینامیکی غیرخطی با اثرات متناسب و معمول کاهنده‌گی و سختی:

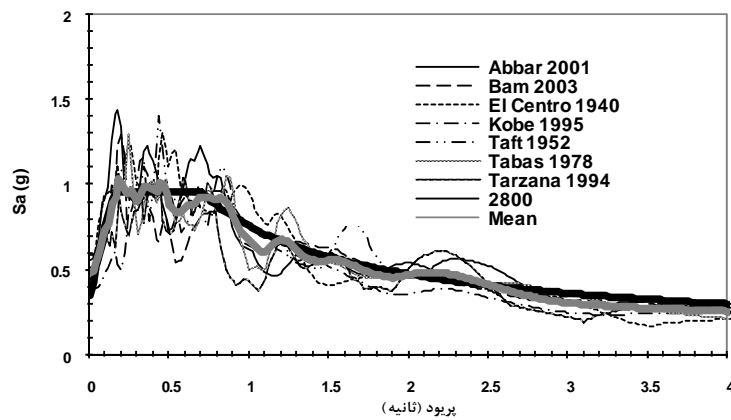
تناوب ۱/۰ تا ۳ هموخوانی و سازگاری داشته باشد شکل (۳).

تهییه شتاب نگاشتها با توجه به فرضیه‌های محل ساخت قابها برای خاک نوع III آیین نامه هستند. با انتخاب ۷ شتاب نگاشت، می‌توان پس از محاسبه پاسخ‌ها، از مقادیر میانگین‌گیری کرد و به عنوان پاسخ نهایی مد نظر قرار داد [۵].

منحنی‌هایی که انتخاب می‌شوند، باید بتوانند انجام سه نوع تحلیل زیر را میسر کنند:



طیف پاسخ لرزه‌های مقیاس شده با طیف طرح (خاک نوع III)



نتایج دینامیکی با هم مقدار  $C_2$  به دست می‌آید. جدول (۴) نتایج تحلیل‌های دینامیکی و استاتیکی را برای هر سه قاب نشان می‌دهد. بررسی ضرایب به دست آمده نشان می‌دهد که پس از قاب اول با پریود ۷۲/۰ ثانیه که ضریب  $C_2$  بیش از واحد است، با افزایش پریود، مقادیر به دست آمده به سمت ۱ میل می‌کنند. همچنین قابل مشاهده است که مقادیر به دست آمده از تحلیل بارافزون چندان نمی‌توانند قابل اعتماد باشند، زیرا در پریودهای بالاتر مقادیر به دست آمده از آنها بیش از مقدار تحلیل دینامیکی می‌شود و ضریب از ۱ کوچک‌تر می‌شود. برای مقایسه نتایج به دست آمده با مقادیر پیشنهادی آیین نامه [۹] شکا (۴) ارائه شده است:

ارزیابی خسارت

مقدار محاسبه شده خسارت وارد بر قابها برای المان‌های تیر و ستون - دیوار محاسبه شده است. خسارت هر طبقه و خسارت وارد بر کل سازه نیز به دست آمده است. برای مقایسه میزان تأثیر اثرات کاهندگی بر خسارت وارد بر قابها اشکال(۵) تا (۷) میانگین خسارت در هر قاب را در مقایسه با رابطه کاهندگی در نظر گرفته شده نشان می‌دهد. همان طور که مشاهده می‌شود با افزایش میزان کاهندگی بر مقدار خسارت افزوده می‌شود، با این حال این افزایش برای هر قاب متفاوت است. در قاب ۲۰ طبقه اختلاف بین خسارت ناشی از رفتار بدون کاهندگی با شدیدترین کاهندگی فرض شده در حدود ۵٪ است، در حالی که این اختلاف در قاب ۱۰ طبقه با پریود کمتر و میزان شکل‌پذیری پایین تر ۲۵٪ بیش از حالت بدون اثر کاهندگی است.

G<sub>2</sub>

جابجایی حداکثر تحلیل دینامیکی خطی با منحنی هیسترزیسی کاوش شدید (میلیمتر)			جابجایی حداکثر تحلیل دینامیکی خطی با منحنی هیسترزیسی تاکا-میداگرا (میلیمتر)			جابجایی حداکثر تحلیل دینامیکی خطی با منحنی هیسترزیسی کلاف (میلیمتر)			جابجایی هدف تحلیل بارافزون بالگوی سازگار مودی (میلیمتر)			شتاب نگاشت		
۲۰	۱۵	۱۰	۲۰	۱۵	۱۰	۲۰	۱۵	۱۰	۲۰	۱۵	۱۰			
طبقه	طبقه	طبقه	طبقه	طبقه	طبقه	طبقه	طبقه	طبقه	طبقه	طبقه	طبقه			
512	267	267	487	234	167	474	224	161	600	373	122			
669	486	210	663	479	210	655	475	200					ABBAR 2001	
471	348	217	442	324	153	413	304	146					BAM 2003	
483	401	221	488	284	147	474	251	142					EL CENTRO 1940	
478	481	161	478	459	178	479	428	156					KOBE 1995	
514	330	220	438	329	158	436	329	158					TABAS 1998	
													TAFT 1952	

بدین منظور از منحنی هیسترزیسی تاکدا [۲۱] با کاهش سختی و مقاومت برای مدل رفتار خمشی همه المان‌ها و از منحنی هیسترزیسی مبدأگرا [۲۲] برای مدل‌سازی رفتار برشی دیوارهای برشی استفاده شد.

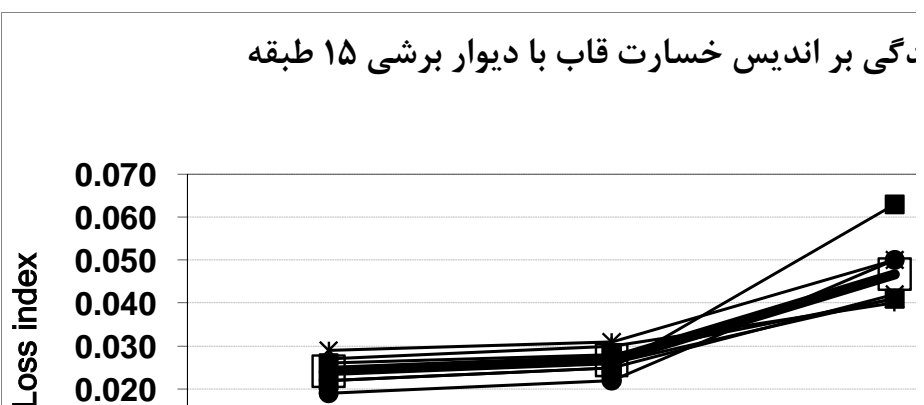
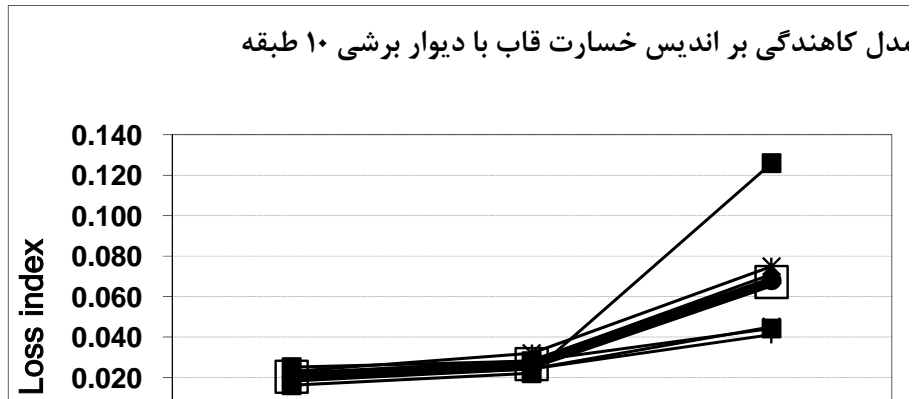
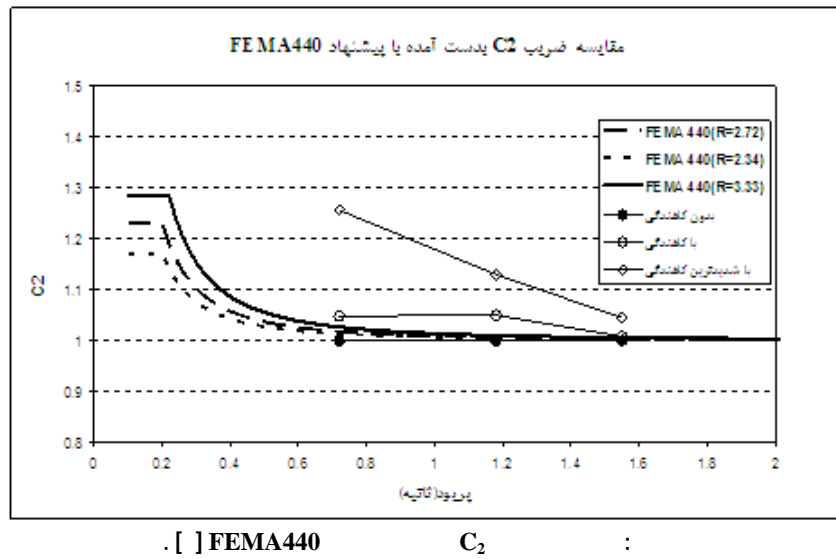
نام مدل	مقدار پارامتر $\alpha$	مقدار پارامتر $\beta$	مقدار پارامتر $\gamma$
مدل کلاف	200	0.01	1
مدل تاکدا	2	0.1	1
مدل کاهنده‌گی شدید	4	0.60	0.01
مدل مبدأ گرا	0	0	0.01

برای بررسی بدترین وضع کاهندگی در برابر وضعیت بند ۱ (بدون اثر کاهندگی) یک منحنی هیسترزیسی انتخاب شد تا بدترین شرایط کاهندگی اعم از مقاومت، سختی و باریکشدنگی را در نظر بگیرد. این مقادیر با توجه به راهنمای برنامه و سقف مقادیر آن انتخاب شده است [۱۶]. در جدول (۳) مقادیر اصلی مدل سه عاملی برای سه تحملیاً باد شده آورده شده‌اند.

C<sub>2</sub>

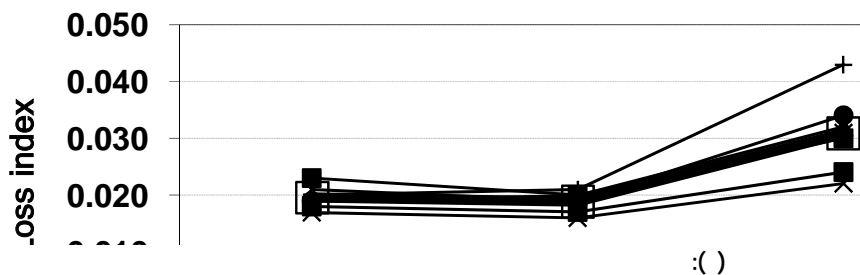
پس از محاسبه تغییر مکان حداکثر بام حاصل از نتایج تحلیل دینامیکی و محاسبه تغییر مکان هدف، اکنون می‌توان مقدار  $C_2$  را به دست آورد. همان طور که گفته شد، یک بار  $C_2$  از نتایج دینامیکی در مقایسه با جا به جایی هدف حساب می‌شود و مرتبه بعدی از مقایسه

409	383	119	416	383	117	453	365	114				TARZANA 1994
505	385	193	487	356	161	484	340	154				MEAN
1.04	1.13	1.25	1.01	1.05	1.05	1.00	1.00	1.00	-	-	-	محاسبه ضریب C2 با استفاده از پاسخ تحلیل دینامیکی با منحنی هیستوژرسی کلاف
0.84	1.03	1.58	0.81	0.95	1.32	-	-	-	1.00	1.00	1.00	محاسبه ضریب C2 با استفاده از پاسخ تحلیل بارافزون



## هندگی بر اندیس خسارت قاب با دیوار برشی ۲۰

### طبقه



- ۳- نتایج نشان می‌دهد که حساسیت قاب‌های کوتاهتر (با پریود پایین) به اثرات کاهنگی بیشتر از قاب‌های بلندتر (با پریود بیشتر) است.
- ۴- با افزایش پریود سازه از میزان ضریب  $C_2$  کاسته می‌شود، به طوری که می‌توان در پریودهای بالاتر آن را تا حدودی برابر یک در نظر گرفت. این نتیجه با رابطه پیشنهادی FEMA440 [۹] همخوانی دارد.
- ۵- با افزایش میزان کاهنگی، بر آسیب‌پذیری سازه نیز افزوده می‌شود. با این وجود بیشترین تأثیر کاهش مقاومت و کاهش سختی بر آسیب‌های وارد شده، در سازه‌های با پریود پایین‌تر مشاهده می‌شود.
- ۶- می‌توان در سازه‌های با دیوار برشی، با شکل‌پذیری عادی و با در نظر گرفتن خاک نوع III ضریب  $C_2$  را در پریود متناظر منطقه (۷/۰ ثانیه) برابر با ۱/۱ (مقدار دستورالعمل [۵]) اختیار کرد و با نرم‌تر شدن سازه و تا رسیدن به پریود ۱/۵ ثانیه از مقدار ضریب  $C_2$  به طور تدریجی کاست و از آن پس ضریب را به طور ثابت برابر ۱ در نظر گرفت.

- $\alpha$  : درجه کاهش سختی
- $\beta$  : درجه کاهش مقاومت
- $C_0$  : ضریب اصلاح ارتباط تغییر مکان طیفی سیستم یک درجه آزاد به تغییر مکان بام سیستم چند درجه آزاد
- $C_1$  : ضریب تبدیل تغییر ممان طیفی خطی به تغییر مکان حداقل غیرخطی
- $C_2$  : ضریب اثر کاهش سختی و مقاومت اعضای سازه‌ای بر تغییر مکان‌ها به دلیل رفتار غیرارتجاعی
- $C_3$  : ضریب اثر افزایش تغییر شکل جانبی سازه تحت اثر

۱- بررسی تغییر مکان قاب‌های بتنی ۱۰ و ۲۰ طبقه با دیوارهای برشی نشان می‌دهد که با افزایش ارتفاع سازه و نرم‌تر شدن آن، میزان تغییر مکان حاصل از تحلیل استاتیکی غیرخطی، نزدیک به جواب‌های دینامیکی می‌شود و حتی از آن فراتر می‌رود.

۲- اگر در محاسبه ضریب  $C_2$  از نسبت پاسخ تحلیل‌های دینامیکی بر نتایج تحلیل بارافزون استفاده شود، در قاب ۱۰ طبقه برای مدل با کاهنگی متوسط مقدار ۱.۳۲ و برای مدل با کاهنگی شدید مقدار ۱.۵۸ حاصل می‌شود. اگر همین مقایسه به جای تحلیل بارافزون با نتیجه حاصل از تحلیل دینامیکی بدون کاهنگی انجام گیرد، برای مدل با کاهنگی متوسط مقدار ۱۰.۵ و برای مدل با کاهنگی شدید مقدار ۱.۲۶ به دست می‌آید.

در قاب ۱۵ طبقه برای مدل با کاهنگی متوسط مقدار ۰.۹۵ و برای مدل با کاهنگی شدید مقدار ۱۰.۳ حاصل می‌شود. اگر همین مقایسه به جای تحلیل بارافزون با نتیجه حاصل از تحلیل دینامیکی بدون کاهنگی انجام گیرد، برای مدل با کاهنگی متوسط مقدار ۱۰.۵ و برای مدل با کاهنگی شدید مقدار ۱۱.۳ به دست می‌آید.

در نهایت در قاب ۲۰ طبقه برای مدل با کاهنگی متوسط مقدار ۰.۸۱ و برای مدل با کاهنگی شدید مقدار ۰.۸۴ حاصل می‌شود. اگر همین مقایسه به جای تحلیل بارافزون با نتیجه حاصل از تحلیل دینامیکی بدون کاهنگی انجام گیرد، برای مدل با کاهنگی متوسط مقدار ۱۰.۱ و برای مدل با کاهنگی شدید مقدار ۱۰.۴ به دست می‌آید.

$P_y$	نیروی محوری تسلیم	$P\Delta$ در محدوده رفتار غیرخطی مصالح است
$\theta_m$	دوران حداکثر حین بارگذاری	$d\delta_m$ : خسارت ناشی از افزایش پاسخ حداکثر
$\theta_r$	دوران بازیافتی حین باربرداری	$dE$ : انرژی هیسترتیک نرمال شده
$\theta_u$	ظرفیت دوران نهایی مقطع	$DI$ : اندیس خسارت
$R$	نسبت مقاومت ارجاعی مورد نیاز به مقاومت تسلیم	$\delta_m$ : تغییر شکل حداکثر خطی
$S_a$	شتاب طیفی به ازای زمان تناوب موثر $T_e$	$\delta_u$ : تغییر شکل نهایی
$T_0$	زمان تناوب مشترک بین دو ناحیه شتاب ثابت و سرعت ثابت در طیف بازتاب طرح	$E_h$ : انرژی مستهلك شده مقط
		$E_i$ : انرژی کل جذب شده عضو و یا طبقه $i$ ام
$T_e$	زمان تناوب اصلی مؤثر ساختمان	$\gamma$ : درجه باریک شدگی
$T_i$	زمان تناوب اصلی ساختمان با فرض رفتار خطی	$K_e$ : شب منحنی ایدهآل شده
$V_y$	مقاومت تسلیم ساختمان در جهت مورد بررسی در تحلیل استاتیکی غیرخطی	$K_i$ : شب منحنی اصلی نیرو - تغییر مکان
		$M_y$ : لنگر خمی تسلیم

- 1 - FEMA 273, (1996). *NEHRP Recommended Provisions for the Seismic Rehabilitation of Buildings*.
- 2 - FEMA 274, (1997). *NEHRP Recommended Provisions for the Seismic Rehabilitation of Buildings*.
- 3 - FEMA 356, (2000). *NEHRP Recommended Provisions for the Seismic Rehabilitation of Buildings*.
- 4 - FEMA 357, (2000b). *ASCE Global Topics Report on the Pre-standard and Commentary for the Seismic Rehabilitation of Buildings*.
- 5 - IIEES, (2002). *International Institute of Earthquake Engineering and Seismology, Seismic Rehabilitation Code for Existing Buildings in Iran*.
- 6 - ATC 40, (1997). *Seismic Evaluation and Retrofit of Concrete Buildings*.
- 7 - Standard No. 2800, (2005). *Iranian Code of Practice for Seismic Resistant Design of Buildings*. Third Revision, Building & Housing Research Center, Iran.
- 8 - Miranda, E. (2002). *Evaluation of Methods to Estimate Target Displacement in PBEE*, 4<sup>th</sup> US-Japan Workshop on Performance, Toba, Japan.
- 9 - FEMA 440, (2005). *NEHRP Improvement of Nonlinear Static Seismic Analysis Procedures*.
- 10 - Park, Y. J., Reinhorn, A. M. and Kunnath, S. K. (1987). "IDARC: Inelastic Damage Analysis of Reinforced Concrete Frame-shear-wall Structures." *Technical report NCEER-87-0008*, N.Y. State University of New York at Buffalo.
- 11 - Sivaselvan, M.V. and Reinhorn, A. M. (1999). "Hysteretic Models for Cyclic Behavior of Deteriorating Inelastic Structures." *Tech. Rep. MCEER-99-0018, Multidisciplinary Ctr. For Earthquake Engineering Research*, State University of New York at Buffalo, N.Y.
- 12 - Hoseinzadeh, N. and Nateghi Elahi, F. (1996). "Vulnerability evaluation of RC buildings with shear walls.", *IIEES publication*.
- 13 - Park, Y. J., Ang, A. and Wen, Y. K. (1984). *Seismic Damage Analysis and Damage Limiting Design of Reinforced Concrete Building*. University of Illinois at Urbana-Champaign.
- 14 - Kunnath, S. K. Reinhorn, A. M. and Lobo, R. F. (1992). "IDARC 2D Ver.3.0: A Program for the Inelastic Damage Analysis of Reinforced Concrete Structures." *Report No. NCEER-92-0022, National Center for Earthquake Engineering Research*, State University of New York at Buffalo.

- 
- 15 - Valles, R. E., Reinhorn, A. M., Kunnath, S. K., Li, C. and Madan, A. "IDARC 2D Ver.4.0: A Program for the Inelastic Damage Analysis of Buildings." *Technical Report NCEER-96-0010*.
- 16 - Kunnath, S. K., Reinhorn, A. M. and Lobo, R. F. (1992). "IDARC 2D Ver.3.0: A Program for the Inelastic Damage Analysis of Reinforced Concrete Structures." *Report No. NCEER-92-0022, National Center for Earthquake Engineering Research*, State University of New York at Buffalo.
- 17 - Iranian National Building Code for Structural Loadings. Standard No. 519, Part 6, Ministry of Housing and Urban Development, Tehran, Iran, 2004.
- 18 - <http://peer.berkeley.edu/smcat/search.html>
- 19 - Naghie, M. (2004). *ACI 318-02 code and commentary in Persian*, Arkan publication.
- 20 - Clough, R. W. (1966). "Effect of stiffness degradation on earthquake ductility requirements." *Structural and Materials Research, Structural Engineering Laboratory*, University of California, Berkeley, CA, Report 66-16.
- 21 - Takeda, T., Sozen, M. A. and Nielson, N. N. (1970). "Reinforced concrete response to simulated earthquakes." *Journal of the Structural Division, ASCE*, Vol. 96, ST12.
- 22 - Kabeyasawa, T., Shiohara, H., Otani, S. and Aoyama, H. (1983). *Analysis of the Full-scale Seven-story Reinforced Concrete Test Structure*, The Faculty of Engineering, University of Tokyo, Vol. XXXVII, No. 2, PP. 432-478.
- 1 - (Nonlinear Static Procedure) NSP  
2 - Pushover  
3 - (Nonlinear Dynamic Procedure) NDP  
4 - Stiffness Degradation  
5 - Stiffness strength Degradation